

03

## Релаксационные и поляризационные колебания в широкоапертурном бистабильном лазере с насыщающимся поглотителем

© С.В. Федоров, Н.Н. Розанов<sup>✉</sup>, Н.А. Веретенев<sup>✉✉</sup>

ФТИ им. А.Ф. Иоффе,  
194021 Санкт-Петербург, Россия

e-mail: sfedorov2006@bk.ru, <sup>✉</sup> e-mail: nnrosanov@mail.ru, <sup>✉✉</sup> e-mail: torrek@gmail.com

Поступила в редакцию 12.07.2022 г.

В окончательной редакции 12.07.2022 г.

Принята к публикации 26.07.2022 г.

Определены области устойчивости однородных режимов генерации в широкоапертурном лазере с насыщающимся поглотителем, в том числе в полупроводниковом лазере с вертикальным выводом излучения, в зависимости от сравнительной скорости релаксации носителей в активной и пассивной средах и от частотных расстройк рабочих переходов в этих средах с резонансной частотой излучения, с учетом его поляризационного состояния. В рамках четырехуровневой модели определены пороги возбуждения релаксационных и поляризационных колебаний.

**Ключевые слова:** широкоапертурный лазер, насыщающийся поглотитель, релаксационные и поляризационные колебания.

DOI: 10.21883/OS.2022.10.53621.46-22

### 1. Введение

Эффект влияния релаксации носителей и ненулевой отстройки резонансной частоты активной и пассивной сред на устойчивость скалярных диссипативных солитонов в бистабильном лазере впервые был рассмотрен в [1]. Наиболее актуальна такая постановка задачи при поиске условий для реализации диссипативных солитонов в микролазерах с вертикальным выводом излучения, большой апертурой и с пассивными слоями на квантовых точках или ямах, интегрированных в полупроводниковый микрорезонатор. В работах [2,3] возможность реализации режимов бистабильности в микролазерах была рассмотрена теоретически, а в [4] — с использованием данных эксперимента. Учет поляризационного состояния излучения при этом не проводился.

В этой работе мы рассматриваем устойчивость в основном однородных по апертуре лазера мод генерации в подпороговом режиме, т.е. в области гистерезиса однородного режима генерации и безгенерационного состояния. В условиях устойчивости скалярного диссипативного солитона учитываем развитие возмущений поля с разными состояниями поляризации. Однородный режим генерации может быть реализован как в широкоапертурных лазерах, так и в лазерах с небольшой апертурой, например, в полупроводниковых микролазерах с одной или двумя поперечными модами (с поправками на форму мод). Аналитически и численно получены пороги возникновения релаксационных и поляризационных колебаний в широкоапертурном бистабильном лазере при изменении резонансной расстройки активной среды (альфа фактора) и/или времен релаксации двух сред. Проведено сравнение области устойчивости од-

нородного режима с областью устойчивости солитонов с нетривиальной топологией распределения фазы или неоднородного поляризационного состояния света ([5]).

### 2. Модель среды и типы релаксационных колебаний

Модель активной среды — четырехуровневая, spin-flip model, [6]. Модель пассивной среды для насыщающегося поглотителя — двухуровневая. В обоих случаях рассматриваем только динамику населенностей носителей, считая, что скорость релаксации дипольных моментов существенно больше, т.е.  $\gamma_{\parallel} \ll \gamma_{\perp}$ , см. скоростные уравнения (3.3) и (3.4) в работе [6]. В случае четырехуровневой модели активной среды два излучательных перехода с противоположными спинами электронов порождают фотоны с противоположными направлениями спинов, точнее мы рассматриваем две амплитуды поля фотонов с противоположной циркулярной поляризацией,  $E_{\pm}$ . Суммарную разность населенностей двух резонансных переходов обозначаем безразмерной вещественной амплитудой  $N$ . В отсутствие эффектов анизотропии потерь она порождает колебания только суммарной интенсивности двух компонент поля  $I = |E_{+}|^2 + |E_{-}|^2$ . Разность инверсий населенностей двух переходов обозначаем как  $n$ . Она связана с колебаниями разности интенсивностей двух компонент поля  $\delta I = |E_{-}|^2 - |E_{+}|^2$ . Скорость релаксации  $\gamma_I$  разности населенностей  $n$  и одновременно разности интенсивностей  $\delta I$  существенно больше, чем скорость релаксации инверсии  $N$ . Значения малого параметра  $\epsilon_I = \gamma_{\parallel}/\gamma_I$  задаются в [6] в интервале  $1/201 \leq \epsilon_I \leq 1/3$ . В приближении двухуровневой

модели  $\epsilon_J \rightarrow 0$ , и тогда нужно положить в скоростных уравнениях  $n = 0$  и  $\delta I = 0$ .

Разностью частот двух переходов активной среды и анизотропией сред в резонаторе пренебрегаем. Как следствие, можно разделить типы колебаний между населенностями сред и интенсивностью поля на релаксационные (колебания между суммарной населенностью среды  $N$  и  $a$  в активной и пассивной средах и суммарной интенсивностью  $I$ ) и на поляризационные (колебания между разностью населенностей двух переходов в активной среде  $n$  и разностью интенсивностей двух компонент излучения  $\delta I$ ). Далее будет показано, что при изменении частотных расстройках среды возможна раскачка колебаний суммарной интенсивности поля с  $\delta I = 0$  (релаксационные колебания в двухуровневой среде) или, наоборот, раскачка колебаний между амплитудами двух компонент поля с разными направлениями поляризации  $E_{\pm}$  с  $\delta I \neq 0$ , но с постоянной суммарной интенсивностью,  $I = \text{const}$ . Альфа-фактор обозначен как безразмерная отстройка резонансной частоты активной или пассивной среды  $\delta_g$  или  $\delta_a$  относительно продольной моды резонатора. Самый простой способ согласования резонансных частот активной и пассивной сред — выбор такой же среды для насыщающегося поглотителя, что и для лазера. В случае полупроводникового микролазера можно разместить пассивные и активные слои (квантовые ямы или точки) интегрированно на одной подложке [2,4]. Безразмерные времена релаксации полной населенности носителей двух сред связаны с размерными соотношением  $\tau_{g,a} = \kappa \gamma_{\parallel}^{-1}$ , где  $\kappa$  — коэффициент линейных потерь заданной продольной моды резонатора.

Далее мы рассчитаем инкременты устойчивости  $\text{Re } \lambda$  в зависимости от параметров двух резонансных сред: времен релаксации суммарной интенсивности  $\tau_{g,a}$  и  $\epsilon_J \tau_g$  — времени релаксации разностей населенностей и интенсивностей двух компонент излучения  $\delta I$  в активной среде. Рассматриваем устойчивость однородных решений в модели широкоапертурного лазера относительно возмущений с заданным пространственным (поперечным) масштабом  $l$  и волновым вектором  $k = 2\pi/l$ . Отметим, что характерный размер диссипативных солитонов порядка  $l = 5-8$  соответствует  $k = 1$ . Поэтому при оценке условий неустойчивости для диссипативных солитонов (с калиброванными размерами) можно считать, что для их развала опасны лишь возмущения с  $\gamma(k) > 0$  при  $k > 1$ . В то же время однородные возмущения с  $k = 0$  также нарушают устойчивость локализованных состояний, поскольку приводят к временным колебаниям амплитуды солитона, однородным вдоль координаты распределенности. Для диссипативного солитона такие колебания с достаточно большой амплитудой могут привести к срыву в безгенерационное состояние, если амплитуда колебаний интенсивности больше, чем разность интенсивностей верхней и промежуточной ветвей гистерезиса.

### 3. Уравнения для поля и населенностей

В квазиоптическом приближении и приближении среднего поля огибающая векторного поля электрической напряженности  $\mathbf{E} = \{E_x, E_y\}$  связана с полной напряженностью  $\tilde{\mathbf{E}}$  соотношением  $\tilde{\mathbf{E}} = 2 \text{Re}[\mathbf{E}(x, y, t)e^{ik_0z - i\omega_0 t}]$ , где  $z$  — координата вдоль оси резонатора,  $x$  и  $y$  — поперечные декартовы координаты,  $t$  — время,  $\omega_0$  — несущая частота и  $k_0$  — соответствующее волновое число. Удобно также использовать компоненты левой и правой циркулярной поляризации  $E_{\pm} = \frac{1}{\sqrt{2}}(E_x \pm iE_y)$ . Амплитуды огибающей комплексны и интенсивность циркулярных компонент выражается через параметры Стокса  $s_i$ , [7]:

$$I = |E_+|^2 + |E_-|^2 = s_0, \quad \Delta I = |E_-|^2 - |E_+|^2 = s_3. \quad (1)$$

В областях солитона, где  $\delta I = s_3 = 0$ , поляризация света линейная, в противном случае — эллиптическая или циркулярная.

В безразмерном виде уравнения для поля и населенностей следующие:

$$\begin{aligned} \partial_t E_{\pm} - (i + d)\nabla_{\perp}^2 E_{\pm} &= [-1 - (1 - i\delta_a)a + (1 - i\delta_g)(N \pm n)]E_{\pm}, \quad (2) \\ \tau_g \partial_t N &= -(1 + b_g I)(N - N_s) + b_g \delta I(n - n_s), \\ \tau_g \partial_t n &= -(1/\epsilon_J + b_g I)(n - n_s) + b_g \delta I(N - N_s), \\ \tau_a \partial_t a &= -(1 + b_a I)(a - a_s). \quad (3) \end{aligned}$$

В этих уравнениях в отличие от [6] учитывается динамика населенностей пассивной среды (поглотителя) с двухуровневой моделью ( $a$  — инверсная населенность, нормированная на линейные потери), и в отличие от [6,8] в уравнение для поля введен коэффициент угловой селективности потерь  $d$ . В релаксационных уравнениях (3) используются обозначения для установившихся населенностей двух сред как функций интенсивностей:

$$\begin{aligned} N_s(I, \delta I) &= \frac{N_0}{1 + b_g I - \frac{\epsilon_J b_g^2 \delta I^2}{1 + \epsilon_J b_g I}}, \\ n_s(I, \delta I) &= \frac{\epsilon_J b_g \delta I}{1 + \epsilon_J b_g I} N_s(I, \delta I), \quad a_s(I) = \frac{a_0}{1 + b_a I}. \quad (4) \end{aligned}$$

В безынерционном приближении безразмерные времена релаксации  $\tau_{g,a} \rightarrow 0$ . Величина безразмерного фактора насыщения  $b_g$  определяется выбором нормировки амплитуды поля  $E_{\pm}$ . В соответствии с (4) используем нормировку с единичной интенсивностью насыщения поглотителя,  $b_a = 1$ . Безразмерное время в (2) и (3) нормировано на единичные линейные потери:  $t = \kappa t$ . В отличие от [8] мы не учитываем здесь анизотропию потерь двух мод резонатора с заданной линейной поляризацией и считаем, что резонансные частоты двух мод с ортогональными поляризациями совпадают.

### 4. Устойчивость однородных решений

Решая уравнения (2) и (3) в однородном случае, мы с необходимостью получаем случай линейной поляризации  $\delta I = s_3 = 0$  для четырехуровневой модели, когда  $\epsilon_J \neq 0$ . Решение с единственной циркулярной поляризацией, когда амплитуда другой компоненты равна нулю, при  $\epsilon_J \neq 0$  всегда неустойчивы [5]. Для  $\epsilon_J = 0$  уравнения среды и поля без анизотропии вырождены по состоянию поляризации, т.е. тогда могут реализоваться любые однородные состояния поляризации. Не учитывая анизотропию сред, рассмотрим неустойчивость только линейно поляризованного поля,  $|E_{\pm}| = |E_s|$ .

Мелкомасштабная неустойчивость однородных или локализованных решений появляется только в широкоапертурных лазерах. Для лазеров с небольшой апертурой можно считать возмущения однородными. Подставляем в (2), (3) возмущенное однородное решение:  $E_{\pm} \cong (E_s + F_{\pm})e^{i\nu t}$ ,  $a \cong a_s + \delta a$ ,  $N \cong N_s + \delta N$ ,  $n \cong \delta n$ . Здесь  $F_{\pm}$  — амплитуда возмущений циркулярных компонент. Полученные линейные уравнения разделяются на уравнения для амплитуд релаксационных,  $F = F_+ + F_-$ , и поляризационных,  $R = F_+ - F_-$ , возмущений. Из них нетрудно получить алгебраические уравнения на амплитуду осцилляций:

$$F(t) \cong A_p e^{\lambda t} + B_p^* e^{\lambda^* t}, \quad R(t) \cong A_m e^{\lambda t} + B_m^* e^{\lambda^* t},$$

$$\delta a(t) \cong q e^{\lambda t} + q^* e^{\lambda^* t}, \quad \begin{cases} \delta N(t) \cong p e^{\lambda t} + p^* e^{\lambda^* t}, \\ \delta n(t) \cong \eta e^{\lambda t} + \eta^* e^{\lambda^* t}. \end{cases} \quad (5)$$

Условия разрешимости последних, во-первых, кубическое уравнение на инкремент роста возмущений  $\lambda$ :

$$\tau_g \tau_a \lambda^3 + (\tau_g b_{as} + \tau_a b_{gs}) \lambda^2 + [b_{gs} b_{as} + 2(\tau_a N_s b_g - \tau_g a_s b_a) I_s] \lambda + 2(b_{as} N_s b_g - b_{gs} a_s b_a) I_s = 0 \quad (6)$$

для релаксационных колебаний, где  $b_{as,gs} = 1 + b_{a,g} I_s$  и  $I_s$  — суммарная интенсивность невозмущенного режима. Во-вторых, для поляризационных колебаний получаем квадратное уравнение:

$$\tau_g \lambda^2 + \lambda(1/\epsilon_J + b_g I_s) + 2b_g N_s I_s = 0. \quad (7)$$

Решение (7) всегда дает  $\text{Re} \lambda_{\pm} < 0$ , т.е. бифуркация Андронова–Хопфа для поляризационных колебаний отсутствует и возмущения с постоянной полной интенсивностью и  $\delta I \neq 0$  всегда затухают. Для

$$\tau_g < \frac{1}{8b_g N_s I_s} (1/\epsilon_J + b_g I_s)^2$$

осцилляции в затухающих колебаниях отсутствуют, так как  $\text{Im} \lambda_{\pm} = 0$ . В безынерционном пределе  $\epsilon_J \rightarrow 0$  разность населенностей  $n$  не осциллирует или сопровождается релаксационными осцилляциями суммы населенностей. Области неустойчивости релаксационных осцилляций (бифуркация Андронова–Хопфа) отражены на рис. 1.

Далее рассматриваем мелкомасштабную неустойчивость однородного или солитонного решения. Подставляем в (2) возмущенные амплитуды и получаем линеаризованные уравнения с коэффициентами, зависящими от координат, которые выражаются через амплитуду солитона  $E_{\pm s}$ . Стационарное решение (3)  $E_{\pm} = E_{\pm s}(x, y)e^{i\nu t}$  с учетом (4) ( $a = a_s, N = N_s, n = n_s$ ) определяется уравнениями:

$$(i + d)\nabla_{\perp}^2 E_{\pm s} - (1 + i\nu)E_{\pm s} - (1 - i\delta_a)a_s E_{\pm s} + (1 - i\delta_g)(N_s \pm n_s)E_{\pm s} = 0. \quad (8)$$

Уравнения для возмущенных амплитуд, справедливые и для возмущений солитона,  $F_{\pm}(x, y, t)$

$$E_{\pm} \cong E_{\pm s}(x, y)e^{i\nu t} + F_{\pm}e^{i\nu t}, \quad \begin{cases} N \cong N_s(x, y) + \delta N \\ a \cong a_s(x, y) + \delta a \end{cases}, \quad n \cong \delta n \quad (9)$$

выписываются отдельно для релаксационных  $F = F_+ + F_-$  и поляризационных  $R = F_+ - F_-$  возмущений. Далее подставляем амплитуды возмущений с заданным масштабом  $|k|$  и инкрементом роста  $\lambda$ :

$$F \cong A_p e^{\lambda t + ikr} + B_p^* e^{\lambda^* t - ikr}, \quad R \cong A_m e^{\lambda t + ikr} + B_m^* e^{\lambda^* t - ikr},$$

$$\delta a \cong q e^{\lambda t + ikr} + q^* e^{\lambda^* t - ikr}, \quad \begin{cases} \delta N \cong p e^{\lambda t + ikr} + p^* e^{\lambda^* t - ikr}, \\ \delta n \cong \eta e^{\lambda t + ikr} + \eta^* e^{\lambda^* t - ikr}. \end{cases} \quad (10)$$

Для однородного решения  $I_s = \text{const}$ , и линейные уравнения на  $A_{p,m} B_{p,m}$ ,  $p, \eta$  становятся алгебраическими. Условие их разрешимости — уравнения на инкремент роста шестой степени по  $\lambda$  для релаксационных возмущений. Для поляризационных осцилляций с амплитудой  $R$  оно отделяется и становится уравнением третьей степени:

$$\tau_g \lambda \lambda_{kk}^2 + (1/\epsilon_J + b_g I_s) \lambda_{kk}^2 + 2N_s b_g I_s (\lambda_k - \delta_g k^2) = 0, \quad (11)$$

где

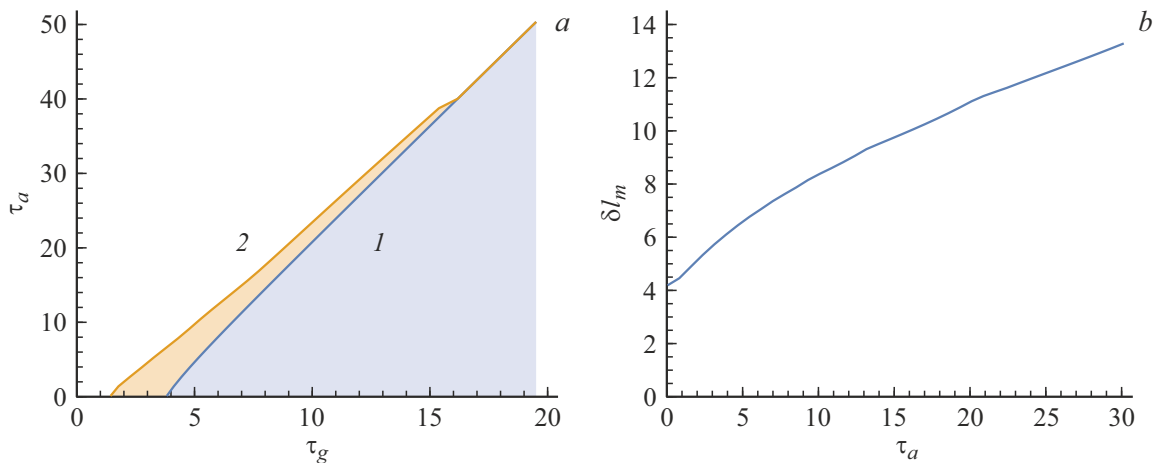
$$\lambda_k = \lambda + dk^2, \quad \lambda_{kk}^2 = \lambda_k^2 + k^4 = (\lambda + dk^2)^2 + k^4,$$

и для  $k = 0$  к (7) у (11) добавляется решение  $\lambda = 0$ . Именно эта ветвь решений, которые стремятся к нулю для  $k \rightarrow 0$ , порождает мелкомасштабную неустойчивость поляризационных возмущений. Разложение (11) для малых значений  $k^2 \ll 1$  дает два решения с инкрементом, близким к нулю:  $\lambda(k^2) \cong \lambda_{\pm\delta} + \lambda_{\pm 1} k^2$  при  $\delta_g > 0$ , и при  $\delta_g < 0$  соответственно:

$$\lambda_{+1} = \delta_g - d \text{ и } \lambda_{+\delta} = 0, \text{ или } \lambda_{-1} = -4(\delta_g + d)N_s b_g I_s \tau_g \epsilon_{J_s}^2 c_1$$

$$\text{и } \lambda_{-\delta} \cong -2N_{g_s} < 0, \quad \epsilon_{J_s} = \frac{\epsilon_J}{1 + b_g I_s \epsilon_J}.$$

Только первое из них в первом порядке малости по  $k^2$  дает положительный инкремент роста. Максимум инкремента достигается при  $k = k_{\text{max}}$ , причем  $k_{\text{max}} = 0$  для



**Рис. 1.** Границы области неустойчивости относительно однородных возмущений (*I*, бифуркация Андронова–Хопфа, область справа от кривой) и области мелкомасштабной неустойчивости (справа от кривой 2, в том числе область *I*) на плоскости безразмерных времен релаксации ( $\tau_g, \tau_a$ ). График (*b*) демонстрирует величину наиболее опасного масштаба неустойчивости  $\delta l_m$ .  $\delta k_{\max} = 2\pi/\delta L_m$ , в зависимости от времени релаксации пассивной среды  $\tau_a$ , для которого инкремент роста достигает максимума, а величина времени релаксации активной среды  $\tau_g(\tau_a)$  соответствует границе области мелкомасштабной неустойчивости, кривая 2.

$\delta_g < d$  и

$$k_{\max}^2 = \varepsilon_{J_s} N_s b_g I_s \frac{\delta_g - d}{1 + \delta_g^2} > 0, \text{ для } \delta_g > d. \quad (12)$$

Наконец, максимальный инкремент задается выражением:

$$\lambda_{\max} = \frac{1}{2} \varepsilon_{J_s} N_s b_g I_s \frac{(\delta_g - d)^2}{1 + \delta_g^2}. \quad (13)$$

Интересен только случай положительных значений отстройек, когда  $\lambda(0) = 0, \lambda_{\max} > 0$ , и поскольку последнее соотношение имеет смысл только при условии  $k_{\max}^2 \sim \delta_g - d > 0$ , то поляризационные колебания для малых значений  $k_{\max}^2$  не затухают только при  $\delta_g > d$ , т. е. только для положительных значений альфа-фактора.

Можно вывести выражение для порога роста релаксационных колебаний, справедливое, как и в случае поляризационных колебаний (12), для малых значений  $k^2 \ll 1$ . Уравнение на инкремент для релаксационных колебаний имеет уже шесть корней, три из которых вырождаются для однородных возмущений,  $\lambda(0) = 0$ :

$$\begin{aligned} & [(\tau_a \lambda + b_{as})(\lambda_k^2 + k^4) - 2a_s b_a I_s (\lambda_k - \delta_a k^2)] \\ & \times [(\tau_g \lambda + b_{gs})(\lambda_k^2 + k^4) + 2N_s b_g I_s (\lambda_k - \delta_g k^2)] \\ & + 4a_s N_s b_a b_g I_s^2 (\lambda_k - \delta_g k^2)(\lambda_k - \delta_a k^2) = 0, \end{aligned} \quad (14)$$

где  $\lambda_k = \lambda(k^2) + dk^2$  и  $\delta_{dg,da} = \delta_{g,a} - d$ . Подстановка в (14)  $\lambda_k \cong (\lambda_1 + d)k^2 + \lambda_2 k^4$  дает решение

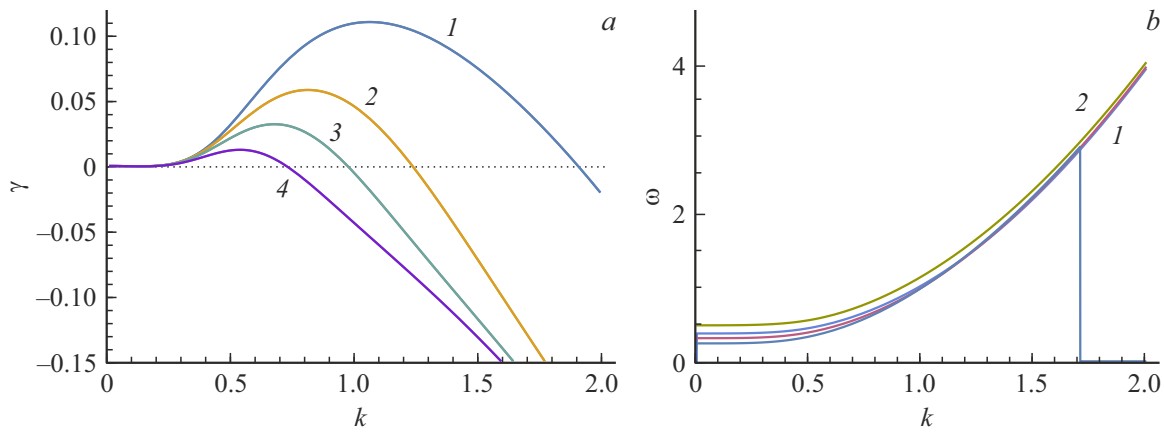
$$\lambda_1 \cong \frac{\delta_{dg} - b_{gas} \delta_{da}}{1 - b_{gas}}, \quad b_{gas} = \frac{b_{gs} N_{as}}{b_{as} N_{gs}}.$$

Таким образом, при  $k \rightarrow 0, \lambda(k^2) \rightarrow 0$  инкремент роста релаксационных колебаний  $\lambda > 0$ , если  $\lambda'(0) = \lambda_1 > 0$ :

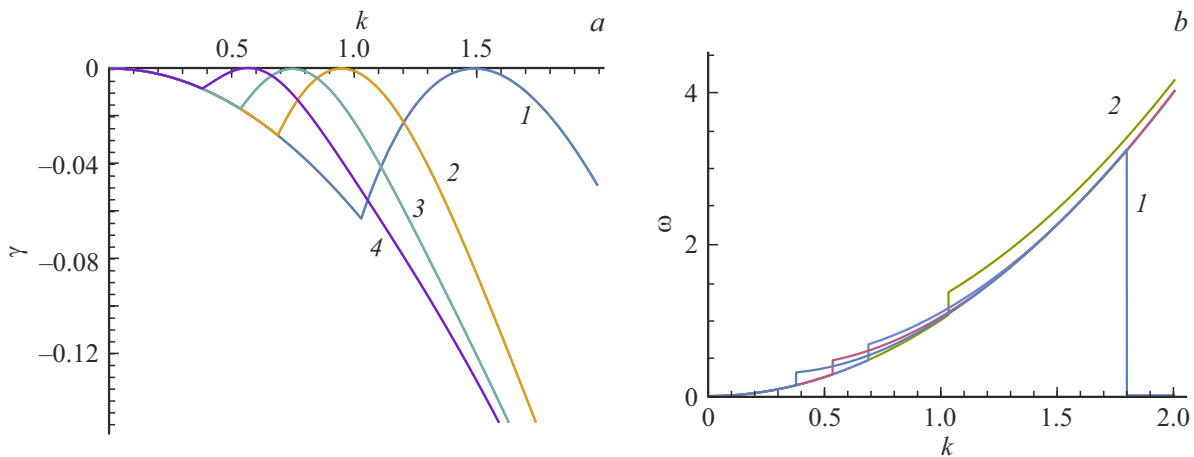
$$\delta_g > d + b_{gas}(\delta_a - d), \quad b_{gas} = \frac{(1 + b_g I_s)^2 b_a a_0}{(1 + b_a I_s)^2 b_g g_0} < 1. \quad (15)$$

### 5. Расчеты зависимостей инкрементов роста возмущений

Используя решение уравнений (11), (14), мы представляем здесь картину устойчивости поляризационных и релаксационных осцилляций с учетом их зависимости от пространственного масштаба  $k = |\mathbf{k}|$ . Сначала рассматриваем случай нулевых значений альфа-фактора,  $\delta_g = \delta_a = 0$ . На рис. 1 показаны области неустойчивости однородного решения  $E_s$  для однородных возмущений  $k = 0$ , кривая 1, и для мелкомасштабной неустойчивости, кривая 2. Область существования последней в условиях устойчивости однородных возмущений примыкает к области 1. Расчеты проведены для наиболее характерного значения управляющего параметра — коэффициента усиления  $g_0 = 2.114$ , для которого рассчитаны области устойчивости поляризационных солитонов:  $a_0 = 2, b_g = 0.1, b_a = 1, d = 0.06, \varepsilon_J = 0.04$ . На рис. 2 приведен расчет комплексного инкремента роста мелкомасштабных возмущений,  $\lambda(k) = \gamma(k) + i\omega(k)$ , от их масштаба для нескольких точек границы области неустойчивости однородных возмущений. Видно, что при увеличении времени релаксации максимальное значение инкремента уменьшается, как и ширина спектра возмущений, переходя к области с преимущественно неустойчивостью Андронова–Хопфа, после того как две границы областей на рис. 1 сливаются. Наконец, на рис. 3 показаны



**Рис. 2.** Зависимости (а) инкремента роста мелкомасштабных возмущений  $\lambda = \gamma + i\omega$  на границе области бифуркации Андронова–Хопфа (кривая 1 на рис. 1) и (б) частоты временных осцилляций от волнового числа; почти не зависит от масштаба возмущений в области их неустойчивости (кривые 1, 2 для двух частот). Значения времен релаксации  $\tau_a = 0, \tau_g = 3.79$  (1),  $\tau_a = 5, \tau_g = 5.1$  (2),  $\tau_a = 10, \tau_g = 6.61$  (3),  $\tau_a = 20, \tau_g = 9.77$  (4).



**Рис. 3.** Зависимости (а) инкремента роста мелкомасштабных возмущений на границе области мелкомасштабной неустойчивости (кривая 2 на рис. 1) и (б) частоты временных осцилляций  $\omega$  от волнового числа. Значения времен релаксации  $\tau_a = 0, \tau_g = 1.4$  (1),  $\tau_a = 5, \tau_g = 3.18$  (2),  $\tau_a = 10, \tau_g = 5.12$  (3),  $\tau_a = 20, \tau_g = 8.84$  (4).

зависимости инкрементов от масштаба на границе мелкомасштабной неустойчивости (кривая 2 на рис. 1).

На рис. 4 приведены зависимости инкремента убывания и возрастания поляризационных колебаний для нулевых значений альфа-фактора.

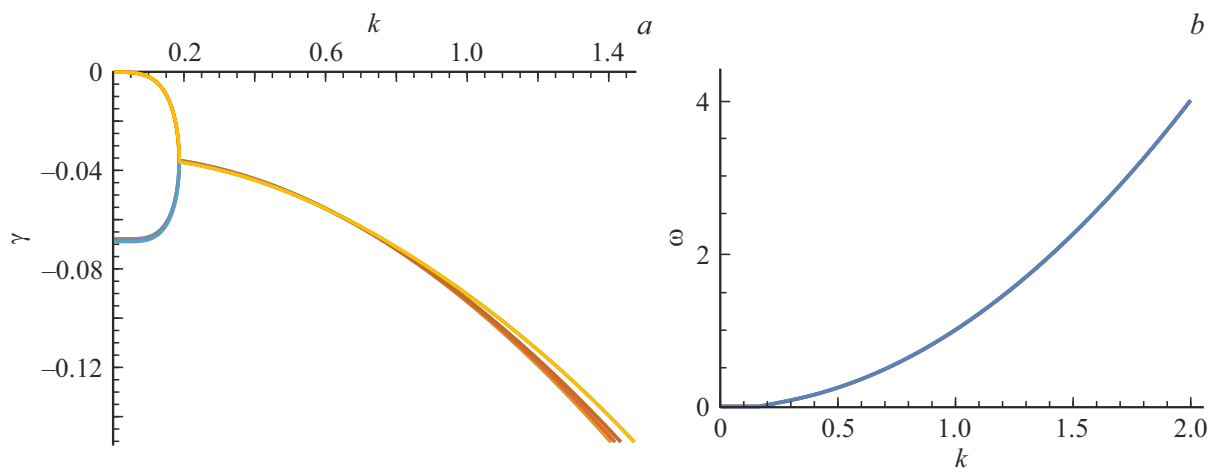
Теперь рассмотрим поляризационные и релаксационные колебания для альфа-фактора выше порогового значения, (14). На рис. 5 приведены зависимости инкрементов убывания и возрастания поляризационных колебаний для значений альфа-фактора  $\delta_g = 0.3$  ( $\delta_g > d$ ) и  $\delta_g = -0.3$  ( $\delta_g < -d$ ).

Видно, что относительно релаксационных колебаний однородный режим генерации неустойчив только для положительных значений альфа-фактора,  $\delta_g > d$ , причем максимальный инкремент достигается для достаточно длинноволновых возмущений,  $\delta l_m \sim 50-100$ ,  $k_{\max} = 2\pi/\delta l_m$ , т.е. на порядок больше характерной ширины солитона. Возмущения с таким масштабом нара-

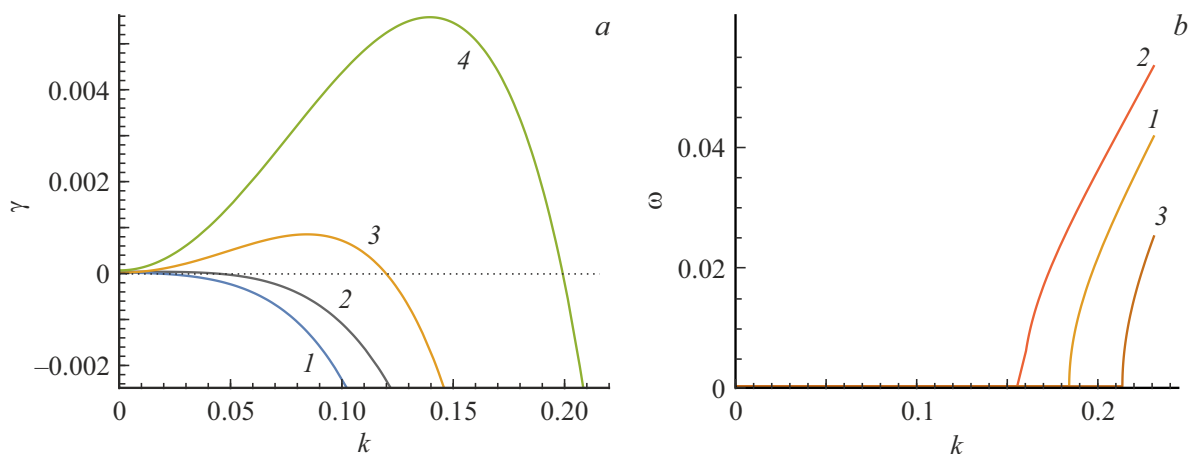
стают в основном без временных осцилляций. Поляризационные колебания при отрицательных значениях альфа-фактора (резонансной расстройке) затухают. Однородные возмущения,  $k = 0$ , всегда нейтрально устойчивы,  $\gamma = 0$ .

На рис. 6 приведены инкременты нарастающих релаксационных колебаний для тех же условий, что и на рис. 5. Видно, что релаксационные колебания при достаточно больших значениях альфа-фактора также возрастают (неустойчивость), причем для обоих значений знака резонансной расстройке  $\delta_g$ .

На рис. 7 приведены области неустойчивости относительно роста поляризационных и релаксационных колебаний на плоскости резонансных расстроек,  $(\delta_g, \delta_a)$ . Области неустойчивости задаются пороговыми условиями (12),  $\delta_g > d$ , и (15),  $\delta_d > d + b_{gas}(\delta_a - d)$  соответственно. Пороговые условия не зависят от значений времен релаксации в приближении  $0 < k_{\max}^2 \ll 1$ , что



**Рис. 4.** Зависимости (а) инкремента убывания поляризационных колебаний для выделенных значений времен релаксации на границе области мелкомасштабной неустойчивости релаксационных колебаний (кривая 2 на рис. 1) и (б) частоты временных осцилляций  $\omega$  от волнового числа. Значения времен релаксации — те же, что и на рис. 3, но в соответствии с (10) и (12) инкремент поляризационных колебаний не зависит от  $\tau_a$  и слабо зависит от  $\tau_g$ ;  $\delta_g = \delta_a = 0$ ,  $d = 0.06$ .

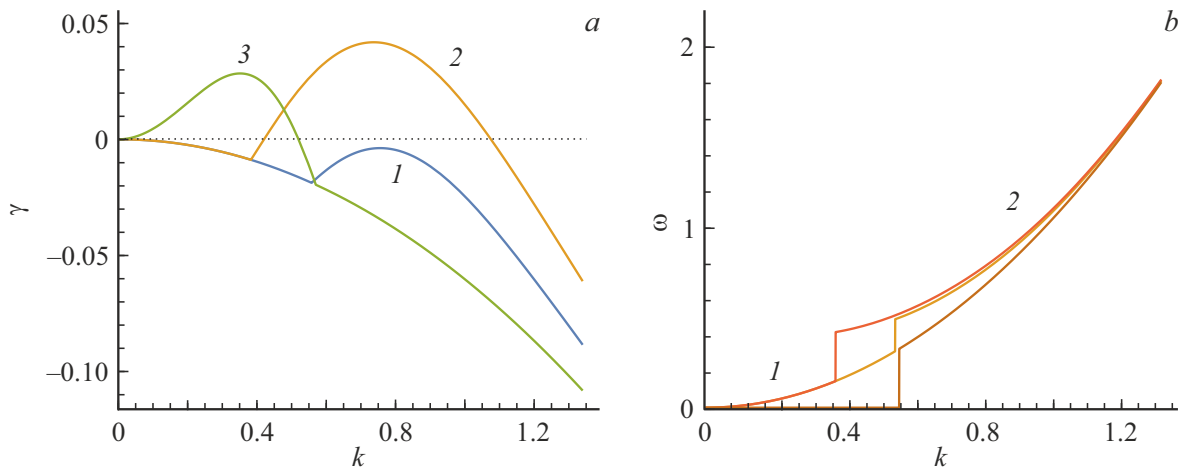


**Рис. 5.** Зависимости (а) инкремента роста поляризационных колебаний для трех значений альфа-фактора в области мелкомасштабной неустойчивости однородного режима генерации и (б) частоты временных осцилляций  $\omega(k)$  — кривые 1, 2, 3 для трех частот на правом рисунке от волнового числа  $\delta_g = 0$  (1),  $-0.3$  (2),  $0.3$  (3). Поглотитель настроен резонансно,  $\delta_a = 0$ . Инкремент поляризационных колебаний не зависит от времени релаксации  $\tau_a$ , а  $\tau_g = 5$ ;  $d = 0.06$ .

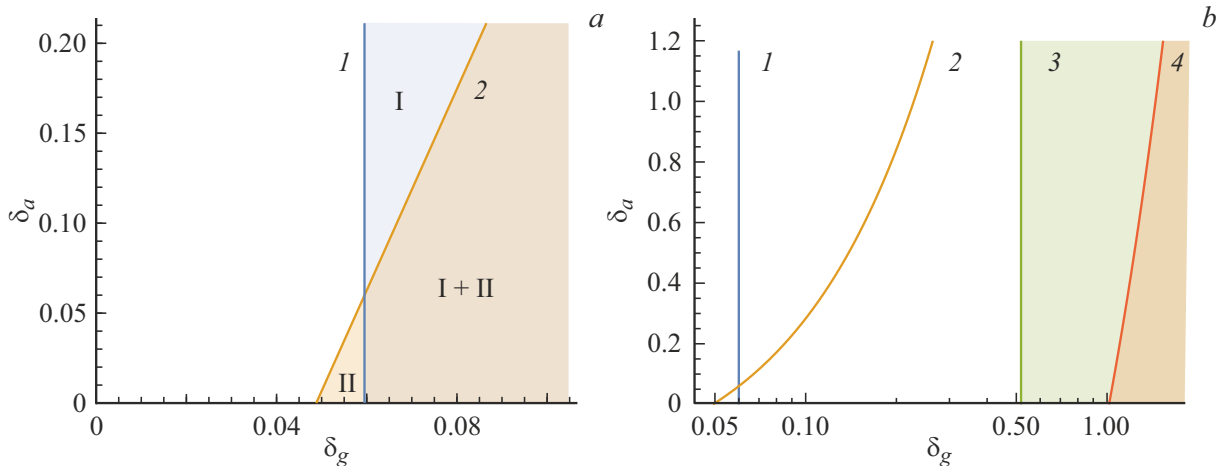
соблюдается при выбранных параметрах. Это означает, что увеличение расстройки  $\delta_g$  приводит к развитию неустойчивости сразу для всех значений  $\tau_{g,a}$ . Однако для диссипативных солитонов с калиброванной шириной области устойчивости существенно увеличиваются, кривые 3 и 4 на рис. 7 и 8. На правой части рис. 7 и на рис. 8 приведены области мелкомасштабной неустойчивости солитонов, оценка положения которых задается положительным инкрементом  $\gamma(k) > 0$  для  $k = 1$ .

На рис. 8, а показаны области неустойчивости релаксационных возмущений однородного решения (7) для однородных возмущений ( $k = 0$ , кривая 1) и для мелкомасштабной неустойчивости (кривая 2), соответствующие рис. 1. Дополнительно заштрихованы оценочные

области мелкомасштабной неустойчивости гармоник с характерным масштабом  $k = 1$  для релаксационных колебаний и для разных значений альфа-фактора. Они задаются условием  $\gamma(k) > 0$  для  $k = 1$ . Видно, что мелкомасштабная неустойчивость с большой длиной волны,  $k = 1$  (кривые 3, 4), существенно меньше влияет на устойчивость однородного режима или солитона, чем длинноволновые гармоники с  $k \rightarrow 0$ , если время релаксации поглотителя достаточно велико,  $\tau_a > 10$ , и даже для достаточно больших альфа-факторов, вплоть до значений  $\delta_g > 1-2$ . На втором графике рис. 8, б приведены для сравнения границы областей неустойчивости однородного режима (кривые 1 и 2 для однородных и мелкомасштабных возмущений, как на рисунке слева) с границами областей неустойчивости векторных



**Рис. 6.** Зависимости (а) инкремента роста релаксационных колебаний для трех значений альфа-фактора в области мелкомасштабной неустойчивости однородного режима генерации:  $\delta_g = 0$  (кривая 1), 0.3 (2), -0.3 (3) и (б) частоты временных осцилляций  $\omega(k)$  — кривые 1, 2 для двух частот от волнового числа.  $\delta_a = 0$ . Значения времен релаксации  $\tau_1 = 10$ ,  $\tau_g = 5$ ;  $d = 0.06$ .

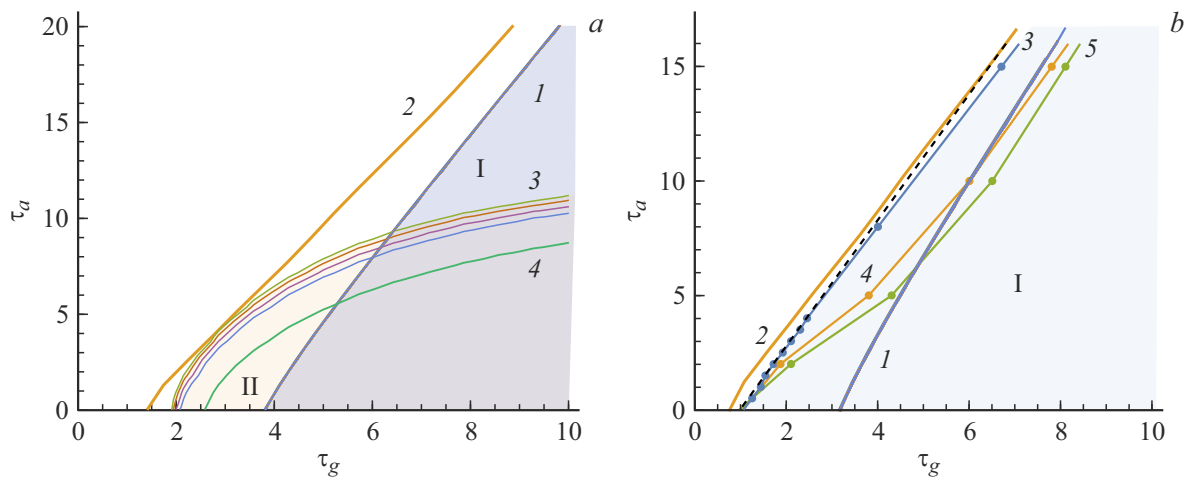


**Рис. 7.** Границы области неустойчивости относительно однородных возмущений на плоскости расстройек,  $(\delta_g, \delta_a)$ , в линейном (а) и полулוגарифмическом (б) масштабах. Область I — область неустойчивости поляризационных колебаний. Граница области (кривая 1, бифуркация Андронова–Хопфа) соответствует пороговому условию (12). В части области, левее кривой 2, поляризационные возмущения возрастают (неустойчивость), а релаксационные возмущения убывают. В части области II области мелкомасштабной неустойчивости релаксационных возмущений левее кривой 1 — поляризационные возмущения убывают, а релаксационные возмущения возрастают. Граница области 2 соответствует пороговому условию (15). На рисунке (б) дополнительно заштрихованы оценочные области неустойчивости солитонов с характерным масштабом  $k = 1$ . Кривая 3 — для области мелкомасштабной неустойчивости за счет поляризационных колебаний, кривая 4 — для релаксационных колебаний;  $g_0 = 2.117$ ,  $\tau_g = 5$ ,  $\tau_a = 10$ .

солитонов с разным зарядом Пуанкаре  $\eta$  [5] (под зарядом Пуанкаре понимается число оборотов главной оси поляризационного эллипса при обходе точки поляризационной сингулярности по замкнутому контуру). Видно, что граница области неустойчивости скалярного солитона (с зарядом  $\eta = 0$ ) почти совпадает с границей области мелкомасштабной неустойчивости однородного режима генерации, а в области неустойчивости при однородных возмущениях, которая может реализоваться для лазеров с небольшой апертурой, теряют устойчивость поляризационные солитоны с большим зарядом Пуанкаре.

### Заключение

В рамках четырехуровневой модели активной среды определены пороги устойчивости поляризационных и релаксационных колебаний в лазерах с насыщающимся поглощением с учетом поляризации излучения. Показано, что при небольших значениях альфа-фактора неустойчивость можно компенсировать, переходя к локализованным модам (векторным солитонам), что наиболее существенно для больших времен релаксации активной среды. Определены области устойчивости за счет обоих типов колебаний, причем показано, что в широкоапер-



**Рис. 8.** Области неустойчивости релаксационных колебаний относительно однородных возмущений (область I справа от кривой 1 — область неустойчивости Андронова–Хопфа) и области мелкомасштабной неустойчивости II (справа от кривой 2, в том числе область I) на плоскости безразмерных времен релаксаций ( $\tau_g$ ,  $\tau_a$ ). Дополнительно заштрихованы области неустойчивости солитонов с характерным масштабом  $k = 1$  для разных значений альфа-фактора  $\delta_g = 0$  (справа от кривой 3), 0.025, 0.06, 0.1, 0.3 (4).  $\delta_a = 0$ ,  $g_0 = 2.117$ . На графике (b) кривые 1 и 2 соответствуют однородному режиму, как и на графике (a), штриховая кривая — граница области устойчивости скалярного солитона с  $m = 1$  и  $\eta = 0$ . Кривая 3 — граница области устойчивости поляризационного солитона с единичным зарядом Пуанкаре  $\eta = 1$ . Кривая 4 — для  $\eta = 2$  и кривая 5 — для  $\eta = 3$ . Альфа-фактор  $\delta_g = 0$ .

турных лазерах могут развиваться и поляризационные колебания среды, т. е. колебания, при которых суммарная интенсивность почти постоянна, а разность интенсивностей циркулярных компонент излучения колеблется с нарастающей амплитудой. Увеличение времени релаксации и альфа-фактора поглотителя относительно значений этих величин для активной среды увеличивает область устойчивости однородного режима генерации (рис. 7 и 8). Это же относится и к локализованным модам генерации (солитонам) (рис. 8).

### Финансирование работы

Исследование поддержано грантом РНФ 18-12-00075.

### Конфликт интересов

Авторы заявляют, что у них нет конфликта интересов.

### Список литературы

- [1] S.V. Fedorov, A.G. Vladimirov, N.N. Rosanov, G.V. Khodova. Phys. Rev. E, **61** (5), 5814 (2000). DOI: 10.1103/PhysRevE.61.5814
- [2] С.В. Федоров. Опт. и спектр., **106** (4), 633 (2009). [S.V. Fedorov. Opt. Spectrosc., **106** (4), 564 (2009). DOI: 10.1134/S0030400X09040183].
- [3] С.В. Федоров, С.А. Блохин, Л.Я. Карачинский. Опт. и спектр., **109** (2), 324 (2010). [S.V. Fedorov, S.A. Blokhin, L.Ya. Karachinskii. Opt. Spectrosc., **109** (2), 290 (2010). DOI: 10.1134/S0030400X10080230].
- [4] С.В. Федоров, С.А. Блохин, Л.Я. Карачинский. Опт. и спектр., **111** (1), 153 (2011). [S.V. Fedorov, S.A. Blokhin,

L.Ya. Karachinskii. Opt. Spectrosc., **111** (1), 142 (2011). DOI: 10.1134/S0030400X1107006X].

- [5] N.A. Veretenov, S.V. Fedorov, N.N. Rosanov. Phys. Rev. Lett., (2022). Submitted.
- [6] M. San Miguel, Q. Feng, J.V. Moloney. Phys. Rev. A, **52** (2), 1728 (1995). DOI: 10.1103/PhysRevA.52.1728
- [7] M.V. Berry, M.R. Dennis. Proc. R. Soc. London A, **457** (2005), 141 (2001). DOI: 10.1098/rspa.2000.0660
- [8] K. Panajotov, M. Tlidi. Opt. Lett., **43** (22), 5663 (2018). DOI: 10.1364/OL.43.005663